

## БЫСТРОДЕЙСТВУЮЩИЕ ПРИЕМНИКИ С КОНТАКТАМИ НА БАРЬЕРАХ ШОТТКИ

*B. A. Вдовенков, С. П. Прокофьев, Т. Н. Усачева*

Для создания систем оптической передачи информации требуются быстродействующие фотоприемники с временами отклика в пикосекундном диапазоне и высокой эффективностью преобразования оптической энергии лазерного излучения в электрическую. Для этих целей широко используются лавинные фотодиоды,  $p-i-n$ -диоды, фототранзисторы. В последние годы стали применяться также быстродействующие фоторезисторы [1, 2]. Они уступают по чувствительности остальным детекторам излучения, однако обладают сравнительно высоким быстродействием, отличаются простотой изготовления фотоприемной структуры и невысокой стоимостью. В связи с этим существует необходимость в изучении и обосновании механизмов формирования полезного сигнала в приемниках этого типа.

Параметры фоторезисторов зависят не только от свойств исходного полупроводника, в значительной степени они обусловлены контактными явлениями в структуре металл—полупроводник—металл. Однако в работах по исследованию быстродействующих фоторезисторов авторы, как правило, не затрагивают вопроса о свойствах контактов, конструируя их омическими [3].

Наличие омических контактов, по нашему мнению, значительно ограничивает быстродействие фотоприемных элементов. Действительно, в случае омических контактов основной проблемой повышения быстродействия фоторезистора является сокращение длительности заднего фронта импульса фотоответа: релаксация фототока после выключения светового импульса происходит по экспоненциальному закону с постоянной времени  $\tau$ , равной времени жизни неосновных носителей, причем  $\tau$  составляет, как правило, единицы наносекунд и более (составляющая времени, связанная с дрейфом носителей в фотопроводящем канале может быть уменьшена за счет повышения их скорости и уменьшения межэлектродного расстояния). Очевидный и традиционный путь сокращения длительности импульса состоит в уменьшении  $\tau$  за счет введения в активную область полупроводника структурных дефектов, являющихся эффективными центрами рекомбинации. Однако этот путь не является оптимальным, так как приводит к снижению дрейфовой подвижности носителей. Кроме того, значительное уменьшение  $\tau$  нецелесообразно из-за резкого снижения эффективности работы фотоприемника.

Решить проблему повышения быстродействия в фоторезисторах можно за счет использования kontaktов с потенциальными барьерами, например с барьераами Шоттки, которые препятствовали бы инжекции носителей зарядов в полупроводник. В этом случае времена нарастания и спада фототока определяются только временем прохождения носителями межэлектродного расстояния, не зависящим от  $\tau$ . Это позволяет использовать для изготовления фотоприемных элементов полупроводники с произвольным значением  $\tau$ , в том числе нелегированные, обладающие большим удельным сопротивлением и высокой подвижностью носителей, что удовлетворяет требованию обеспечения как низких темновых токов, так и высокой фоточувствительности приемника [4].

Данная работа посвящена экспериментальному исследованию быстродействия фотоприемных элементов с конструкций фоторезистора и потенциальными барьерами в области контактов. Степень неомичности контакта металл—полупроводник определялась по виду вольт-амперной характеристики в исследованном диапазоне напряжений смешения  $U_{\text{см}} = -0.90$  В.

Для изготовления фотоприемных элементов использованы нелегированные эпитаксиальные слои GaInAs(Gd) с концентрацией остаточных примесей  $10^{14}$ — $10^{15}$  см $^{-3}$  и высокой подвижностью носителей заряда  $\sim 10^4$  см $^2/\text{В}\cdot\text{с}$  (при 300 К), а также объемные компенсированные монокристаллы GaAs(Cr) и InP(Fe) с удельным сопротивлением  $\geq 10^8$  Ом·см (при 300 К). Контакты к полупроводнику формировались путем вакуумного напыления золота на химически полированную поверхность с последующей термической обработкой структур в течение 15 мин при 400 °C для улучшения адгезии. Расстояние между электродами  $d$  составляло приблизительно 30 мкм, ширина электродов  $l = 600$ —800 мкм. Такая технология позволяла получать симметричные структуры металл—полупроводник—металл с потенциальными барьерами в области контактов.

На рис. 1 представлены типичные вольт-амперные характеристики фотоприемных элементов. Большое сопротивление ( $\approx 10^3$ — $10^6$  Ом) и нелинейность вольт-амперных характеристик у некоторых образцов (кривые 2, 3) свидетельствуют о наличии потенциальных барьеров в области контактов. Исследованы также образцы с контактами, близкими к омическим, для которых характерны линейные вольт-амперные характеристики (кривая 1). При использованной нами технологии свойства контактов могут быть обусловлены не только контактной разностью потенциалов металла и полупроводника. Свой вклад в вид вольт-амперной характеристики вносят также особенности тонкой оксидной пленки, неизбежно присутствующей на поверхности полупроводника, а также металлургические процессы, обусловленные термообработкой.

Для определения высоты потенциального барьера в образцах с нелинейными вольт-амперными характеристиками был использован метод фотоЭДС и активационный метод, со-

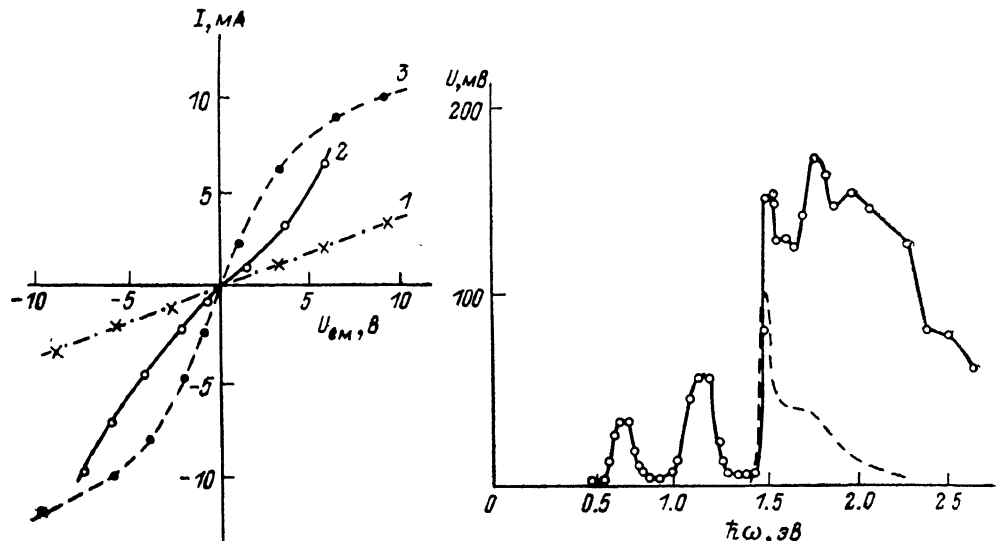


Рис. 1. Вольт-амперные характеристики фотоприемных элементов.

1, 2 — GaInAs № 43; 3 — InP № 202.

Рис. 2. Спектр фотоЭДС (сплошная линия) и бесконтактной фотопроводимости (штриховая линия) GaAs(Cr).

стоящий в определении энергии активации по температурной зависимости сопротивления обратно смещенного контакта.

Типичный спектр фотоЭДС GaAs(Cr) приведен на рис. 2 (сплошная линия). Здесь же для сравнения показан спектр бесконтактной фотопроводимости (штриховая линия). Основная полоса фотоЭДС и полоса фотопроводимости, длинноволновая граница которых совпадает с шириной запрещенной зоны арсенида галлия, обусловлены межзонными переходами свободных носителей. Энергетическое положение других полос соответствует надбарьерным переходам электронов с уровня Ферми металла в полупроводник ( $\sim 0.95$  эВ) [6] и переходам с локального уровня в зону проводимости полупроводника ( $\sim 0.65$  и  $\sim 0.33$  эВ).

Характерные энергии активации для фотоприемных элементов на основе других полупроводников видны на рис. 3, где представлены температурные зависимости сопротивления  $R$  контактов металл—полупроводник.

В образцах на основе GaAs экспериментально полученные значения энергии активации  $\sim 0.95$ ,  $\sim 0.65$  и  $\sim 0.33$  эВ (рис. 3, кривая 3) соответствуют положению полос в спектрах фотоЭДС (рис. 2, кривая 1). В InP энергия активации  $\sim 0.82$  эВ близка к высоте барьера Шоттки, а  $\sim 0.63$  эВ соответствует переходам с локальных уровней. В образцах на основе GaInAs определены энергии активации  $\sim 0.42$  (барьер Шоттки) и  $\sim 0.24$  эВ.

Необходимо отметить, что энергии активации, совпадающие с высотой барьера Шоттки, отчетливо видны только у фотоприемных элементов с нелинейными вольт-амперными характеристиками (например, образцы 2 и 3 на рис. 1) и не проявляются у фотоприемных элементов с линейными вольт-амперными характеристиками (образец 1 на рис. 1).

На рис. 4 приведены типичные фотоотклики приемников с линейной (1) и нелинейной (2) вольт-амперной характеристикой. Здесь же показана структура фотоприемного элемента.

На рис. 1 под теми же номерами изображены вольт-амперные характеристики этих образцов.

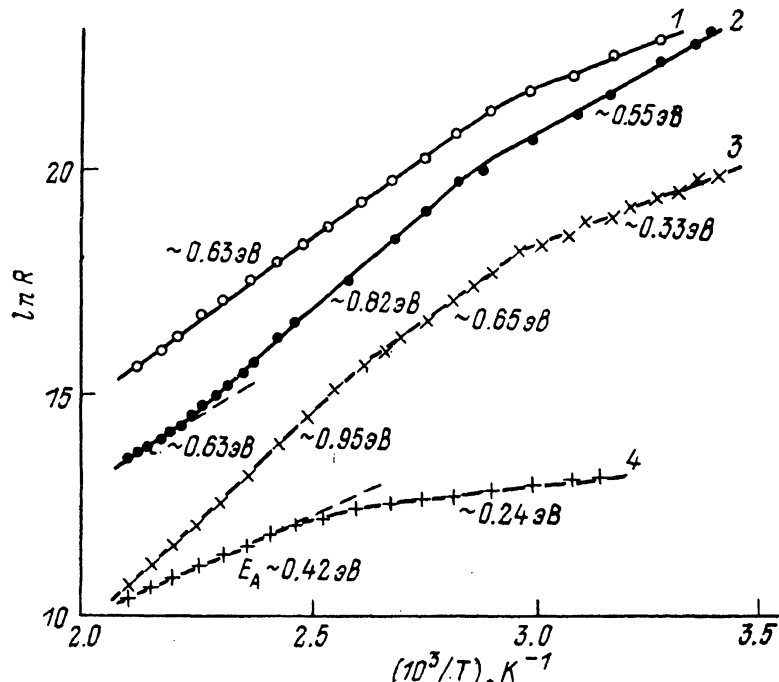


Рис. 3. Температурная зависимость сопротивления  $R$  выпрямляющих контактов Au—InP (1), Au—GaAs (3), Au—GaInAs (4) и невыпрямляющих контактов Au—InP (2).

Цифрами обозначены энергии активации в эВ.

Наиболее короткие длительности импульсных характеристик ( $\sim 150$  пс по полувысоте и  $\sim 40$ — $70$  пс по фронту нарастания на уровне 0.1—0.9) зарегистрированы у фотоприемников (рис. 4, образец 2), имеющих потенциальные барьеры Шоттки  $\sim 0.95$  (GaAs),  $\sim 0.82$  (InP),  $\sim 0.42$  эВ (GaInAs) и нелинейные вольт-амперные характеристики. При этом форма импульса фотоответа близка к симметричной. В образцах с линейной вольт-амперной характеристикой наблюдался релаксационный спад фототока с постоянной времени порядка нескольких наносекунд, при этом длительность импульса фотоответа по полувысоте составляла 5—15 нс, а передний фронт импульсной характеристики (оп-

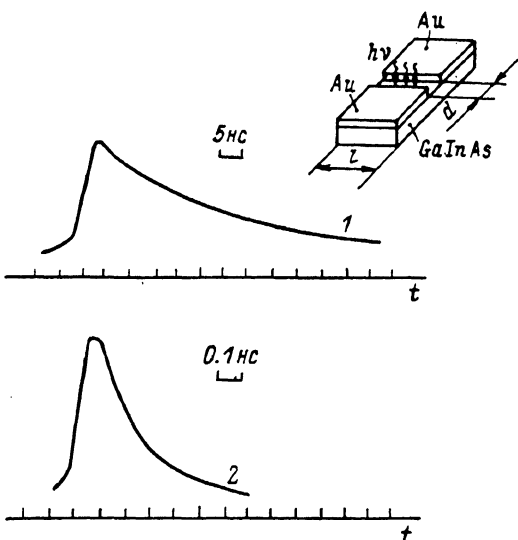


Рис. 4. Импульсные характеристики фототока фотоприемников, изготовленных из GaInAs № 43 с линейной (1) и нелинейной (2) вольт-амперной характеристикой.

На вставке конструкция фотоприемного элемента.

пределаемый временем пролета носителями фотопроводящего канала) по-прежнему не превышал 70—100 пс.

Быстро действие приемников со встречно включенными барьерами Шоттки практически не зависело от величины прикладываемого напряжения, а их фоточувствительность была на уровне 0.4 А/Вт.

Полученные экспериментальные результаты позволяют осуществлять предварительный отбор быстродействующих фотоприемников по виду вольт-амперной характеристики.

В симметричных структурах металл—полупроводник—металл с потенциальными барьерами у контактов наиболее быстрая дрейфовая составляющая фототока связана с движением носителей в области пространственного заряда, размер которой зависит от уровня легирования полупроводника и приложенного напряжения. В остальной части канала вклад в фототок вносит более медленная диффузионная составляющая. Условия, близкие к оптимальным, реализуются в том случае, когда область пространственного заряда занимает все межэлектродное пространство. В исследованных фотоприемных элементах с шириной фотопроводящего канала  $\sim 30$  мкм условия прохождения носителей не являются идеальными (невтрудуно убедиться, что при уровне легирования  $\sim 10^{15}$  см $^{-3}$  и напряжении  $U_{\text{cm}} = 90$  В размер обедненной области составляет  $\sim 12$  мкм). Можно надеяться поэтому, что простое уменьшение межэлектродного расстояния до 1—10 мкм повысит быстродействие приемников этого типа.

Таким образом, проведенные исследования фотоэлектрических свойств и динамических характеристик полупроводниковых фотоприемников с конструкцией фоторезистора показали, что наличие потенциальных барьеров в области контактов позволяет существенно повысить их быстродействие.

### Список литературы

- [1] Корольков В. И. // Фотоприемники и фотопреобразователи / Под ред. Ж. И. Алферова и Ю. В. Шмарцева. Л.: Наука, 1986. С. 6—36.
- [2] Forrest S. P. // IEEE Spectrum. 1986. Vol. 23. N 5. P. 76—84.
- [3] Свеников Г. С. // Оптоэлектроника и полупроводниковая техника. 1986. № 10. С. 11—26.
- [4] Лукьянцов В. Н., Печаталенко В. Ф., Прокофьев С. П. и др. // Тез. докл. XII Всесоюз. научно-технической конф. «Высокоскоростная фотография, фотоника и метрология быстропротекающих процессов». М., 1985. С. 188.
- [5] Зи С. Физика полупроводников. М.: Мир, 1984. Т. 1. С. 455.

Всесоюзный научно-исследовательский  
институт оптико-физических измерений  
Москва

Поступило в Редакцию  
6 февраля 1989 г.

06; 07

Журнал технической физики, т. 60, с. 2, 1990

© 1990 г.

### ФЛУКТУАЦИОННЫЕ ХАРАКТЕРИСТИКИ ЦЕЛЬНОВОЛОКОННОГО ИНТЕРФЕРОМЕТРА САНЬЯКА НА ВОЛНУ 0.85 МКМ

И. А. Андронова, Д. Д. Гусовский, В. М. Геликонов,  
В. И. Леонов, Ю. А. Мамаев, А. А. Туркин, А. С. Яхнов

В последние годы достаточно много внимания уделяется исследованию волоконно-оптических колышевых интерферометров в качестве датчиков угловой скорости вращения [1]. Предложены различные оптико-физические схемы таких интерферометров и проведено детальное исследование целого ряда физических факторов, влияющих на чувствительность и дрейф нуля оптического гироскопа. При этом показано, что наиболее перспективными с точки зрения получения высокой чувствительности являются цельноволоконные колышевые интерферометры [2—9], обладающие достаточно стабильными во времени выходными характеристиками. Флуктуационные явления, определяющие предельную чувствительность, на наш взгляд, исследованы в литературе недостаточно полно.

В настоящей работе приводятся результаты экспериментального исследования цельноволоконного интерферометра Саньяка на основе одномодового изотропного волокна, собранного по схеме, впервые предложенной в [2] и показанной на рис. 1. Целью работы было исследование результирующих флуктуационных характеристик интерферометра, а также выявление и изучение источников флуктуаций, которые можно было проводить на фоне медленного дрейфа, связанного с использованием изотропного волокна.